

## I - 5 2-主析橋の考察

日本大学理工学部土木教室 正員 遠藤篤康

概要 ここに述べる2-主析橋の理論的考察は、既く首都高速度道路公団に採用されてゐる2-主析橋断面に、端横析のみを配置してあるP.C連続析を対象にしたものである。この形式の橋の理論については既くHomberg, Beck, およびBechert等の論文があり、最近においては、Klaus-Wolfgang Biegerがこの問題について線荷重を対象にして、例題について計算し、うかと述べている。

著者も上記の論文を中心にして種々の気の付いた点を2, 3述べてみたいと思う。最初にこの形式について理論解析を行つた要素は、2-主析間の中心線（横断面の方向に床版の中心線）を切断し、そこに仮想ヒンジをもうけ、不静力量を運び荷重を片側に載荷した場合の釣合方程式を立てFourier-級数によつて不静力を求め、床版、主析および端横析の各断面力の釣合方程式を立てた。ここにおける仮想ヒンジ点においては不静定力量は床版の剪断力のみを対象とし、そこへ生じる曲げモーメントの影響は小さなものとして無視した。この場合においても床版は荷重分配をするものとして一格の床版の格子作用が理論の前提となつてゐる。著者もこの問題について前の講演会に述べたが、最近この方法で計算したり、とにかく線荷重に対する主析の曲げモーメント値の誤差がけらゆるとKlaus-Wolfgang Biegerは発表している。これは主析に生じる曲げモーメント、剪断力およびねじりモーメントは主析間の床版の荷重分配作用から生じるものであつて、床版の中間モーメントおよび主析上の固定モーメントを検討する必要があると思う。

床版の中間モーメントの算定には近似計算として前述固定の版として取扱つて右端床版側にあり主析上の固定モーメントには近似的に主析の剛性を考慮した弾性支承上の版としての計算方法が考案られる。なおこの場合必ずさくは床版の固定端上の曲げモーメントは必ずしも負の曲げモーメントではなく、主析の長さおよび剛性に影響し、主析の固定作用（弾性支承と考えた場合）に左右されるので、完全固定支承とは異なり正の曲げモーメントを生じる場合の方が多くなる。従つてここに生じる剪断力も本質的に違つてくる。

シルバの考え方によつて理論の大要を各項につけて述べる。

理論 理論式の前提として、床版を無数の数多、横析が格子作用しておるものと仮定し、主析の慣性モーメントを  $I_B$ 、ねじり極モーメントを  $I_T$  とし、床版の中心線上を切断し、そこへ働く力を不静定荷荷量とし、剪断力を  $X_{10}$ 、曲げモーメントを  $X_{20}$  とすれば、分布荷重に対する单純析ではつきの式で与えられる。

$$X_{10} = -\frac{2P}{\pi} \sum_{n=1}^{\infty} \frac{1}{n} \sin \frac{n\pi u}{L} \cdot \sin \frac{n\pi c}{L}$$

$$\frac{1 + n^2 K + (1 - \frac{u}{a}) + n^2 K_{PL} (1 - 1.5 \frac{u}{a} + 0.5 \frac{u^2}{a^2})}{1 + n^2 K_T + n^2 K_{PL}} \cdot \sin \frac{n\pi x}{L}$$

$$X_2(x) = + \frac{2P\alpha}{\pi} \sum_{n=1}^{\infty} \frac{1}{n} \cdot \sin \frac{n\pi u}{L} \cdot \sin \frac{n\pi e}{L} \cdot \left. \frac{\frac{K_B}{n^2} \left(1 - \frac{e}{a}\right) + 0.5 \frac{\bar{a}}{a} \left(1 - \frac{e}{a}\right)^2}{\frac{K_B}{n^2} + 1} \cdot \sin \frac{n\pi x}{L} \right\} \quad \dots (1)$$

$\therefore = K$

$$\left. \begin{aligned} K_{PL} &= \frac{\pi^4}{3} \cdot \frac{\bar{a}^3}{L^4} \cdot \frac{I_B}{I_{PL}} = 32.5 \frac{\bar{a}^3}{L^4} \cdot \frac{I_B}{I_{PL}} \\ K_T &= \pi^2 \frac{\bar{a}^2}{L^2} \cdot \frac{I_B}{I_T} \cdot \frac{E}{G} = 23.5 \frac{\bar{a}^2}{L^2} \cdot \frac{I_B}{I_T} \\ K_B &= \frac{1}{\pi^2} \cdot \frac{L^2}{\bar{a}} \cdot \frac{I_{PL}}{I_T} \cdot \frac{E}{G} = 0.241 \frac{L^2}{\bar{a}} \cdot \frac{I_{PL}}{I_T} \end{aligned} \right\} \quad \dots (2)$$

上式で  $I_{PL}$  は床版の単位中の慣性モーメントであり、厚さが一定の場合には、

$$I_{PL} = \frac{\bar{a}^3}{12(1-\gamma^2)}$$

となり、 $\gamma$  は横歪剛度をあらわし、鉄筋コンクリートでは  $G = 0.42E$  を与えたものである。  
なお記者によつては図-1 を参照のこと、

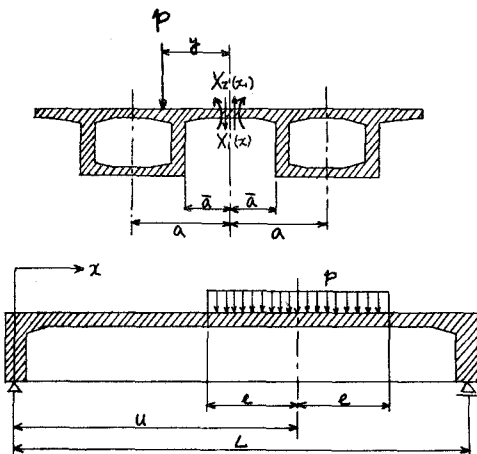


図-1

上式から各部の慣性力および剛性についての計算の結果は、講演の際にゆすりにいたと思  
う。この研究には首都高速度交通公団角田副理事および東亜コンクリート株式会社設計部  
長の御援助がありまことに感謝致ります。